

УДК 539.3

НЕЛИНЕЙНЫЕ ПАРАМЕТРИЧЕСКИЕ КОЛЕБАНИЯ ПРОДОЛЬНО ПОДКРЕПЛЕННОЙ ОРТОТРОПНОЙ ЦИЛИНДРИЧЕСКОЙ ОБОЛОЧКИ С ЗАПОЛНИТЕЛЕМ

Ф. С. Латифов, М. А. Мехтиев*

Азербайджанский архитектурно-строительный университет,
AZ 1073 Баку, Азербайджан

* Институт математики и механики НАН Азербайджана,
AZ 1141 Баку, Азербайджан
E-mails: flatifov@mail.ru, mahirmehdiyev@mail.ru

С использованием вариационного принципа в геометрически нелинейной постановке решена задача о параметрических колебаниях продольно подкрепленной ортотропной цилиндрической оболочки, контактирующей с упругой средой и находящейся под действием внутреннего давления. Влияние внешней среды учтено с помощью модели Пастернака. Построены амплитудно-частотные зависимости для параметрических колебаний ортотропной цилиндрической подкрепленной оболочки, заполненной средой.

Ключевые слова: цилиндрическая оболочка, наполнитель, нелинейные параметрические колебания, вариационный принцип, подкрепленная оболочка.

DOI: 10.15372/PMTF20180422

Введение. В последнее время представляет интерес исследование напряженно-деформированного состояния ребристых анизотропных оболочек при воздействии на них динамических нагрузок. Нелинейное деформирование цилиндрических оболочек при действии на них различных динамических нагрузок изучается в работе [1].

Исследованию нелинейных колебаний ребристых цилиндрических оболочек посвящено небольшое количество работ [2–5]. В работе [2] при решении этой задачи применяется метод последовательных приближений, в [4, 5] — метод конечных элементов. В геометрически нелинейной постановке с использованием вариационного принципа нелинейные параметрические колебания подкрепленной изотропной цилиндрической оболочки, контактирующей с внешней вязкоупругой средой и находящейся под действием внутреннего давления, исследованы в [6–12]. При этом подкрепление оболочек проводилось продольной, поперечной и перекрестной системами ребер. Исследования выполнялись как без учета поперечного сдвига оболочек [6–8], так и с его учетом [9–12].

Постановка задачи. В данной работе исследуются параметрические колебания [13] продольно подкрепленной ортотропной цилиндрической оболочки с наполнителем. Дифференциальные уравнения движения и естественные граничные условия задачи получим на основе вариационного принципа Остроградского — Гамильтона.

Выражение для потенциальной энергии упругой деформации ортотропной цилиндрической оболочки имеет вид [2]

$$V_0 = \frac{hR}{2} \iint \left[B_{11} \left(\frac{\partial u}{\partial x} \right)^2 - 2(B_{11} + B_{22}) \frac{w}{R} \frac{\partial u}{\partial x} + B_{11} \frac{\partial u}{\partial x} \left(\frac{\partial w}{\partial x} \right)^2 - (B_{11} + B_{22}) \frac{w}{R} \left(\frac{\partial w}{\partial x} \right)^2 + \right. \\ \left. + \frac{B_{11}}{4} \left(\frac{\partial w}{\partial x} \right)^4 + \frac{w^2}{R^2} (B_{11} + 2B_{12} + B_{22}) + \frac{B_{22}}{R^2} \left(\frac{\partial v}{\partial \theta} \right)^2 - (B_{12} + B_{22}) \frac{w}{R^3} \left(\frac{\partial w}{\partial \theta} \right)^2 - \right. \\ \left. - 2(B_{12} + B_{22}) \frac{w}{R^2} \frac{\partial v}{\partial \theta} + B_{22} \frac{1}{R^3} \frac{\partial v}{\partial \theta} \left(\frac{\partial w}{\partial \theta} \right)^2 + B_{22} \frac{1}{4R^4} \left(\frac{\partial w}{\partial \theta} \right)^4 + 2B_{12} \frac{1}{R^2} \frac{\partial u}{\partial x} \frac{\partial v}{\partial \theta} + \right. \\ \left. + B_{12} \frac{1}{R^2} \frac{\partial u}{\partial x} \left(\frac{\partial w}{\partial \theta} \right)^2 + B_{12} \frac{1}{R} \frac{\partial v}{\partial \theta} \left(\frac{\partial w}{\partial x} \right)^2 + \frac{1}{2R^2} (B_{12} + 2B_{66}) \left(\frac{\partial w}{\partial x} \right)^2 \left(\frac{\partial w}{\partial \theta} \right)^2 + \right. \\ \left. + B_{66} \frac{1}{R^2} \left(\frac{\partial u}{\partial \theta} \right)^2 + B_{66} \left(\frac{\partial v}{\partial x} \right)^2 + B_{66} \frac{1}{R} \frac{\partial v}{\partial x} \frac{\partial u}{\partial \theta} + 2B_{66} \frac{1}{R^2} \frac{\partial u}{\partial \theta} \frac{\partial w}{\partial x} \frac{\partial w}{\partial \theta} + 2B_{66} \frac{\partial v}{\partial x} \frac{\partial w}{\partial x} \frac{\partial w}{\partial \theta} \right] dx d\theta,$$

где

$$B_{11} = \frac{E_1}{1 - \nu_1 \nu_2}, \quad B_{22} = \frac{E_2}{1 - \nu_1 \nu_2}, \quad B_{12} = \frac{\nu_2 E_1}{1 - \nu_1 \nu_2} = \frac{\nu_1 E_2}{1 - \nu_1 \nu_2}, \quad B_{66} = G_{12} = G,$$

R — радиус срединной поверхности оболочки; h — толщина оболочки; u, v, w — компоненты вектора перемещений точек срединной поверхности оболочки; E_1, E_2 — модули упругости ортотропного материала; ν_1, ν_2 — коэффициенты Пуассона ортотропного материала; x, θ — координаты в продольном и окружном направлениях.

Выражение для потенциальной энергии упругой деформации i -го продольного ребра записывается в виде [13]

$$\Pi_i = \frac{1}{2} \int_{x_2}^{x_1} \left[\tilde{E}_i F_i \left(\frac{\partial u_i}{\partial x} \right)^2 + \tilde{E}_i J_{yi} \left(\frac{\partial w_i}{\partial x} \right)^2 + \tilde{E}_i J_{zi} \left(\frac{\partial v_i}{\partial x} \right)^2 + \tilde{G}_i J_{\text{кр}i} \left(\frac{\partial \varphi_{\text{кр}i}}{\partial x} \right)^2 \right] dx,$$

где x_1, x_2 — координаты криволинейных и прямолинейных краев оболочки; $F_i, J_{zi}, J_{yi}, J_{\text{кр}i}$ — площадь поперечного сечения i -го продольного стержня и моменты инерции относительно оси Oz и оси, параллельной оси Oy и проходящей через центр тяжести сечения, а также его момент инерции при кручении; \tilde{E}_i, \tilde{G}_i — модули упругости и сдвига материала i -го продольного стержня; u_i, v_i, w_i — компоненты вектора перемещения точек осей ребер,

$$\varphi_{\text{кр}i}(x) = \varphi_2(x, y_i) = - \left(\frac{\partial w}{\partial y} + \frac{v}{R} \right) \Big|_{y=y_i}.$$

Потенциальная энергия оболочки, находящейся под действием внешних поверхностных и краевых нагрузок, представляет собой работу, совершаемую этими нагрузками при переводе системы из деформированного состояния в начальное недеформированное состояние, и представляется в виде

$$A_0 = - \int_{x_1}^{x_2} \int_{y_1}^{y_2} (q_x u + q_y v + q_z w) dx dy - \int_{y_1}^{y_2} (T_1 u + S_1 v + Q_1 w + M_1 \varphi_1) \Big|_{x=x_2}^{x=x_1} dy - \\ - \int_{x_1}^{x_2} (S_2 u + T_2 v + Q_2 w + M_2 \varphi_2) \Big|_{y=y_2}^{y=y_1} dx.$$

Здесь q_x, q_y, q_z — компоненты вектора внешних нагрузок, причем $q_z = q_{z1} + q_{z2}$; q_{z1} — интенсивность нагрузки, действующей на оболочку со стороны упругого заполнителя;

q_{z2} — интенсивность внешних поверхностных нагрузок; $T_1, S_1, Q_1, T_2, S_2, Q_2$ и M_1, M_2 — внутренние силы и моменты в оболочке.

Потенциальные энергии внешних краевых нагрузок, приложенных к торцам i -го продольного стержня, определяются следующими выражениями (принимается, что к ребрам приложены только краевые нагрузки):

$$A_i = -(T_i u_i + S_i v_i + Q_i w_i + M_i \varphi_i + M_{1i} \varphi_{zi} + M_{кр i} \varphi_{кр i}) \Big|_{x=x_1}^{x=x_2}$$

($T_i, S_i, Q_i, M_i, M_{1i}, M_{кр i}$ — внутренние силы и моменты в ребрах).

Полная потенциальная энергия системы равна сумме потенциальных энергий упругих деформаций оболочки и ребер, а также потенциальных энергий всех внешних нагрузок:

$$\Pi = V_0 + \sum_{i=1}^{k_1} \Pi_i + A_0 + \sum_{i=1}^{k_1} A_i.$$

Выражения для кинетических энергий оболочки и ребер записываются в виде

$$K_0 = \frac{\rho_0 R^2 h}{2} \int_0^{\xi_1} \int_0^{2\pi} \left[\left(\frac{\partial u}{\partial t} \right)^2 + \left(\frac{\partial v}{\partial t} \right)^2 + \left(\frac{\partial w}{\partial t} \right)^2 \right] d\xi d\theta,$$

$$K_i = \rho_i F_i \int_{x_1}^{x_2} \left[\left(\frac{\partial u_i}{\partial t} \right)^2 + \left(\frac{\partial v_i}{\partial t} \right)^2 + \left(\frac{\partial w_i}{\partial t} \right)^2 + \frac{J_{кр i}}{F_i} \left(\frac{\partial \varphi_{кр i}}{\partial t} \right)^2 \right] dx,$$

где t — время; ρ_0, ρ_i — плотности материалов, из которых изготовлены оболочка и i -й продольный стержень.

Кинетическая энергия ребристой оболочки определяется по формуле

$$K = K_0 + \sum_{i=1}^{k_1} K_i.$$

Полагая, что радиальные прогибы постоянны по высоте сечений и ребра жестко соединены с оболочкой, запишем соотношения

$$u_i(x) = u(x, y_i) + h_i \varphi_1(x, y_i), \quad v_i(x) = v(x, y_i) + h_i \varphi_1(x, y_i), \quad w_i(x) = w(x, y_i),$$

$$\varphi_i(x) = \varphi_1(x, y_i), \quad \varphi_{кр i}(x) = \varphi_2(x, y_i),$$
(1)

где $h_i = 0,5h + H_i^1$; H_i^1 — расстояние от оси i -го продольного стержня до поверхности оболочки; x, y_i — координаты линий сопряжения ребер с оболочкой; $\varphi_1 = -\partial w / \partial x$, $\varphi_2 = -(\partial w / \partial y + v / R)$ — углы поворота нормальных элементов относительно координатных линий y и x ; $\varphi_i, \varphi_{кр i}$ — углы поворота и кручения поперечных сечений продольных стержней.

Уравнения движения подкрепленной ортотропной оболочки, контактирующей со средой, получены на основе принципа стационарности действия Остроградского — Гамильтона

$$\delta W = 0, \tag{2}$$

где $W = \int_{t'}^{t''} L dt$ — действие по Гамильтону; $L = K - \Pi$ — функция Лагранжа; t', t'' — заданные произвольные моменты времени.

Выражение для интенсивности нагрузки, действующей на оболочку со стороны упругого заполнителя, можно записать в следующем виде:

$$q_{z1} = k_c w.$$

Здесь k_c — коэффициент, определяемый зависимостью $k_c = q_1 + q_0 \nabla^2$ (модель Пастернака); ∇^2 — двумерный оператор Лапласа на поверхности контакта; w — прогиб оболочки; q_1 , q_0 — постоянные.

С учетом соотношений (1) перемещение стержней можно выразить через перемещение оболочки. Из условия стационарности (2) получаем систему нелинейных алгебраических и дифференциальных уравнений относительно искомым неизвестных.

Решение задачи. Рассмотрим нелинейные параметрические колебания продольно подкрепленной круговой ортотропной цилиндрической оболочки под действием радиальной нагрузки $q_{z2} = \tilde{q}_0 + \tilde{q}_1 \sin(\omega_1 t)$, где \tilde{q}_0 — средняя или основная нагрузка; \tilde{q}_1 — амплитуда изменения нагрузки; ω_1 — частота изменения давления оболочки, находящейся в вязкоупругой среде. Считаем, что края оболочки шарнирно оперты, т. е. при $x = 0$, $x = l$

$$N_x = 0, \quad M_x = 0, \quad w = 0, \quad v = 0.$$

Граничные условия удовлетворяются точно, если положить

$$u = u_0(t) \sin(kx) \sin(m\theta), \quad v = v_0(t) \sin(kx) \cos(m\theta), \quad w = w_0(t) \sin(kx) \sin(m\theta), \quad (3)$$

где m — число волн в окружном направлении; u_0 , v_0 , w_0 — неизвестные амплитуды изменения искомым величин; $k = \pi/l$. Подставим аппроксимации (3) в выражение для функционала L и, учитывая, что $x_1 = 0$, $x_2 = l$, $y_1 = 0$, $y_2 = 2\pi$, $t' = 0$, $t'' = \pi/\omega$, проинтегрируем это выражение по x , y , t . В результате получаем функцию искомым величин u_0 , v_0 , w_0 . Стационарное значение полученной функции определяется нелинейной системой обыкновенных дифференциальных уравнений

$$\frac{\partial W}{\partial u_0} = 0, \quad \frac{\partial W}{\partial v_0} = 0, \quad \frac{\partial W}{\partial w_0} = 0,$$

или

$$\begin{aligned} & \left(\rho_0 h \frac{\pi L}{2} + L \sum_{i=1}^{k_1} \rho_i F_i \sin^2(m\theta_i) \right) \frac{d^2 u_0}{dt^2} = \\ & = \left(\frac{h R L \pi k^2 B_{11}}{2} + \frac{h m^2 \pi L B_{66}}{2R} + \frac{L}{2} \sum_{i=1}^{k_1} E_i F_i k^2 \sin^2(m\theta_i) \right) u_0 + \frac{h R k^2 \pi L B_{11}}{4} w_0, \\ & \left(\rho_0 h \frac{\pi L}{2} + L \sum_{i=1}^{k_1} \rho_i F_i \cos^2(m\theta_i) + L \sum_{i=1}^{k_1} \frac{\rho_i J_{\text{кр}i} \cos^2(m\theta_i)}{R^2} \right) \frac{d^2 v_0}{dt^2} + \\ & + L \sum_{i=1}^{k_1} \frac{m \rho_i J_{\text{кр}i} \cos^2(m\theta_i)}{R^2} \frac{d^2 w_0}{dt^2} = \\ & = \frac{h R}{2} \frac{B_{22} \pi m^2}{R^2} L + \frac{h R}{2} B_{66} k^2 \pi L + \sum_{i=1}^{k_1} E_i J_{z_i} k^4 \cos^2(m\theta_i) + \\ & + \frac{L}{2} \sum_{i=1}^{k_1} \frac{G_i J_{\text{кр}i}}{R^2} k^2 \cos^2(m\theta_i) v_0 + \frac{L}{2} \sum_{i=1}^{k_1} \frac{G_i J_{\text{кр}i}}{R^2} k^2 m \cos^2(m\theta_i) w_0, \end{aligned} \quad (4)$$

$$\begin{aligned}
& L \sum_{i=1}^{k_1} \rho_i \frac{J_{\text{кр}i} \cos^2(m\theta_i)}{R^2} m \frac{d^2 v_0}{dt^2} + \\
& \quad + \left(\frac{\rho_0 h \pi L}{R^2} + L \sum_{i=1}^{k_1} \rho_i F_i \sin^2(m\theta_i) + L \sum_{i=1}^{k_1} \rho_i \frac{J_{\text{кр}i} \cos^2(m\theta_i) m^2}{R^2} \right) \frac{d^2 w_0}{dt^2} = \\
& = \frac{h R k^2 \pi L B_{11}}{4} u_0 + \left(\frac{h m \pi L (B_{12} + B_{22})}{2R} + \frac{L}{2} \sum_{i=1}^{k_1} \frac{G_i J_{\text{кр}i}}{R^2} m k^2 \cos^2(m\theta_i) \right) v_0 + \\
& \quad + \left[\frac{h \pi L (B_{11} + 2B_{12} + B_{22})}{2R} + \frac{L}{2} \sum_{i=1}^{k_1} E_i I_{y_i} k^4 \sin^2(m\theta_i) + \right. \\
& \quad \left. + \frac{L}{2} \sum_{i=1}^{k_1} \frac{G_i J_{\text{кр}i}}{R^2} m^2 k^2 \cos^2(m\theta_i) + L \pi k_c + \pi \tilde{q}_0 \left(1 + \frac{\tilde{q}_1}{\tilde{q}_0} \sin(\omega_1 t) \right) \right] w_0 + \\
& \quad + \left(\frac{9k^4 \pi L B_{11}}{32} + \frac{9m^4 \pi L B_{22}}{32} + \frac{\pi m^2 k^2 L (B_{12} + 2B_{66})}{16R^2} \right) w_0^3.
\end{aligned}$$

Приведем решение в первом приближении, полагая колебания гармоническими. Представим решение системы уравнений (4) в виде

$$u_0(t) = A \cos(\omega t), \quad v_0(t) = B \cos(\omega t), \quad w_0(t) = C \cos(\omega t),$$

где A , B , C — безразмерные амплитуды; ω — частота колебаний. С использованием метода Бубнова — Галеркина получаем систему нелинейных алгебраических уравнений, которая решается методом Ньютона при следующих исходных данных: $R = 0,16$ м, $h = 0,00045$ м, $l = 0,8$ м, $\rho_0 = \rho_i = 7800$ кг/м³, $\tilde{E}_i = 6,67 \cdot 10^9$ Па, $\nu_1 = 0,11$, $\nu_2 = 0,19$, $|h_i| = 0,1375 \cdot 10^{-1} R$, $k_1 = 16$, $m = 8$, $F_i / (2\pi R h) = 0,1591 \cdot 10^{-1}$, $J_{y_i} / (2\pi R^3 h) = 0,8289 \cdot 10^{-6}$, $J_{z_i} / (2\pi R^3 h) = 0,13 \cdot 10^{-6}$, $J_{\text{кр}i} / (2\pi R^3 h) = 0,5305 \cdot 10^{-6}$, $\tilde{q}_0 / E_1 = 0,002$, $\tilde{q}_1 / \tilde{q}_0 = 0,3$, $k_c / E_1 = 0,028$.

На рис. 1 приведены амплитудно-частотные зависимости в случае параметрических колебаний подкрепленной цилиндрической оболочки с наполнителем при различных значениях отношения E_1/E_2 материала оболочки. Видно, что с увеличением отношения E_1/E_2 амплитуда параметрических колебаний подкрепленной цилиндрической оболочки с наполнителем увеличивается.

Рассмотрим уточненное решение задачи, аппроксимируя изогнутую поверхность оболочки с помощью нескольких параметров. Такое решение позволяет исследовать изменение формы изогнутой поверхности во времени. Функции $u(t)$, $v(t)$, $w(t)$ представим в виде рядов, удовлетворяющих приведенным выше граничным условиям:

$$\begin{aligned}
u &= u_0(t) \sin(kx) \sin(m\theta) + u_1(t) \sin(2kx) \sin(m\theta), \\
v &= v_0(t) \sin(kx) \cos(m\theta) + v_1(t) \sin(2kx) \cos(m\theta), \\
w &= w_0(t) \sin(kx) \sin(m\theta) + w_1(t) \sin(2kx) \sin(m\theta).
\end{aligned} \tag{5}$$

Применяя принцип Остроградского — Гамильтона, получаем шесть уравнений движения

$$\begin{aligned}
& \left(\rho_0 h \frac{\pi L}{2} + L \sum_{i=1}^{k_1} \rho_i F_i \sin^2(m\theta_i) \right) \frac{d^2 u_0}{dt^2} = \\
& = \left(\frac{h R L \pi k^2 B_{11}}{2} + \frac{h m^2 \pi L k^2 B_{66}}{2R} + \frac{L}{2} \sum_{i=1}^{k_1} E_i F_i k^2 \sin^2(m\theta_i) \right) u_0 +
\end{aligned}$$

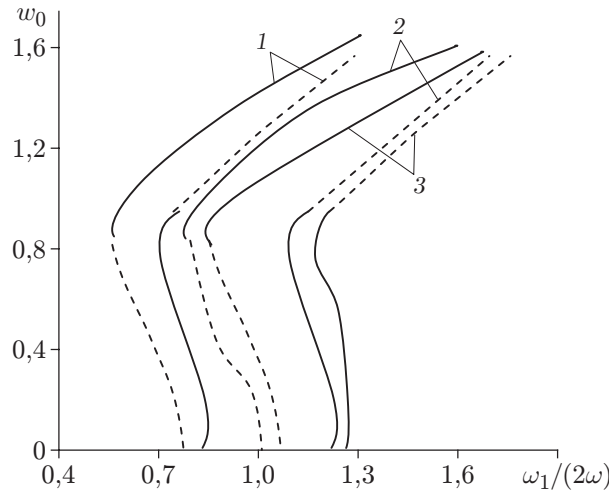


Рис. 1. Амплитудно-частотные зависимости в случае параметрических колебаний цилиндрической подкрепленной оболочки при различных значениях E_1/E_2 : сплошные линии — устойчивые ветви решений, штриховые — неустойчивые ветви решений; 1 — $E_1/E_2 = 0,75$, 2 — $E_1/E_2 = 1,00$, 3 — $E_1/E_2 = 1,25$

$$\begin{aligned}
 & + \frac{hRk^2\pi LB_{11}}{4}w_0 - \frac{h\pi}{3}(B_{11} + B_{12})((-1)^n + 2)w_1 + \frac{hB_{66}m\pi}{3}((-1)^n - 1)v_1, \\
 & \left(\rho_0 \frac{h\pi L}{2} + L \sum_{i=1}^{k_1} \rho_i F_i \cos^2(m\theta_i) + L \sum_{i=1}^{k_1} \frac{\rho_i J_{\text{кр}i} \cos^2(m\theta_i)}{R^2} \right) \frac{d^2 v_0}{dt^2} + \\
 & \qquad \qquad \qquad + L \sum_{i=1}^{k_1} \frac{\rho_i J_{\text{кр}i} \cos^2(m\theta_i) m}{R^2} \frac{d^2 w_0}{dt^2} = \\
 & = \left(\frac{hR}{2} \frac{B_{22}\pi m^2 L}{R^2} + \frac{hR}{2} B_{66} k^2 \pi L + \sum_{i=1}^{k_1} E_i I_{zi} k^4 \cos^2(m\theta_i) + \frac{L}{2} \sum_{i=1}^{k_1} \frac{G_i J_{\text{кр}i}}{R^2} k^2 \cos^2(m\theta_i) \right) v_0 + \\
 & \qquad \qquad \qquad + \left(\frac{L}{2} \sum_{i=1}^{k_1} \frac{G_i J_{\text{кр}i}}{R^2} k^2 m \cos^2(m\theta_i) + L\pi k_c \right) w_0 - \frac{4B_{66}}{3R} m\pi((-1)^n - 1)u_1, \quad (6) \\
 & L \sum_{i=1}^{k_1} \rho_i \frac{J_{\text{кр}i} \cos^2(m\theta_i)}{R^2} m \frac{d^2 v_0}{dt^2} + \\
 & \qquad \qquad \qquad + \left(\frac{\rho_0 h\pi L}{2} + L \sum_{i=1}^{k_1} \rho_i F_i \sin^2(m\theta_i) + L \sum_{i=1}^{k_1} \rho_i \frac{J_{\text{кр}i} \cos^2(m\theta_i) m^2}{R^2} \right) \frac{d^2 w_0}{dt^2} = \\
 & = \frac{hRk^2\pi LB_{11}}{4} u_0 + \left(\frac{hm\pi L(B_{12} + B_{22})}{2R} + \frac{L}{2} \sum_{i=1}^{k_1} \frac{G_i J_{\text{кр}i}}{R^2} m k^2 \cos^2(m\theta_i) \right) v_0 + \\
 & + \left(\frac{h\pi L(B_{11} + 2B_{12} + B_{22})}{2R} + \frac{L}{2} \sum_{i=1}^{k_1} E_i J_{yi} k^4 \sin^2(m\theta_i) + \frac{L}{2} \sum_{i=1}^{k_1} \frac{G_i J_{\text{кр}i}}{R^2} m^2 k^2 \cos^2(m\theta_i) + \right.
 \end{aligned}$$

$$\begin{aligned}
 &+ L\pi k_c + \pi\tilde{q}_0 \left(1 + \frac{\tilde{q}_1}{\tilde{q}_0} \sin(\omega_1 t)\right) w_0 + \left(\frac{9k^4\pi LB_{11}}{32} + \frac{9m^4\pi LB_{22}}{32} + \frac{\pi m^2 k^2 L(B_{12} + 2B_{66})}{16R^2}\right) w_0^3 + \\
 &+ \frac{2h\pi(B_{11} + B_{12})}{3} ((-1)^n + 1)u_1 + \left(\frac{9B_{11}k^4\pi L}{4} + \frac{9B_{22}m^4\pi L}{4} + \frac{5\pi m^2 k^2 L(B_{12} + B_{66})}{16R^2}\right) w_0 w_1^2, \\
 &\left(\frac{\rho_0 h\pi L}{2} + L \sum_{i=1}^{k_1} \rho_i F_i \sin^2(m\theta_i)\right) \frac{d^2 u_1}{dt^2} = \\
 &= \frac{2h\pi}{3} (B_{11} + B_{12})((-1)^n + 1)w_0 - \frac{4B_{66}}{3R} m\pi((-1)^n - 1)v_0 + \\
 &+ \left(2hRk^2 L\pi B_{11} + \frac{B_{66}m^2\pi L}{R^2} + 2 \sum_{i=1}^{k_1} E_i F_i k^2 L \sin^2(m\theta_i)\right) u_1 + hRB_{11}k^2\pi Lw_1, \\
 &\left(\frac{\rho_0 h\pi L}{2} + L \sum_{i=1}^{k_1} \rho_i F_i \cos^2(m\theta_i) + L \sum_{i=1}^{k_1} \rho_i \frac{J_{\text{кп}i} \cos^2(m\theta_i)}{R^2}\right) \frac{d^2 v_1}{dt^2} = \\
 &= 2L \sum_{i=1}^{k_1} m\rho_i \frac{J_{\text{кп}i} \cos^2(m\theta_i)}{R^2} \frac{d^2 w_1}{dt^2} + \frac{4B_{66}m\pi}{32} ((-1)^n + 1)u_0 + \\
 &+ \left(\frac{hB_{22}\pi m^2 L}{2R} + 4B_{66}k^2\pi L + 16 \sum_{i=1}^{k_1} E_i J_{zi} k^4 \cos^2(m\theta_i) + 2L \sum_{i=1}^{k_1} \rho_i \frac{G_i J_{\text{кп}i}}{R^2} k^2 \cos^2(m\theta_i)\right) v_1 + \\
 &+ 2Lmk^2 \sum_{i=1}^{k_1} \frac{G_i I_{\text{кп}i}}{R^2} \cos^2(m\theta_i) w_1, \\
 &2mL \sum_{i=1}^{k_1} \rho_i \frac{J_{\text{кп}i} \cos^2(m\theta_i)}{R^2} \frac{d^2 v_1}{dt^2} + \\
 &+ \left(\frac{\rho_0 h\pi L}{2} + L \sum_{i=1}^{k_1} \rho_i F_i \sin^2(m\theta_i) + 4m^2 L \sum_{i=1}^{k_1} \rho_i \frac{J_{\text{кп}i} \cos^2(m\theta_i)}{R^2}\right) \frac{d^2 w_1}{dt^2} = \\
 &= -\frac{h\pi}{3} (B_{11} + B_{12})((-1)^n + 2)u_0 + hRB_{11}k^2\pi Lu_1 + \left(\frac{h\pi L}{2R} (B_{11} + 2B_{12} + B_{22}) + \right. \\
 &+ 8Lk^4 \sum_{i=1}^{k_1} E_i J_{yi} \sin^2(m\theta_i) + 2L \frac{k^2 m^2}{R^2} \sum_{i=1}^{k_1} G_i J_{\text{кп}i} \cos^2(m\theta_i) + L\pi k_c) w_1 + \\
 &+ \left(\frac{hm\pi L}{2R} (B_{12} + B_{22}) + \frac{2mLk^2}{R^2} \sum_{i=1}^{k_1} G_i J_{\text{кп}i} \cos^2(m\theta_i)\right) v_1 + \\
 &+ \left(\frac{9hRk^4\pi LB_{11}}{8} + \frac{9hRm^4\pi LB_{22}}{8} + \frac{5h\pi m^2 k^2 L(B_{12} + 2B_{66})}{32R}\right) w_0^2 w_1 + \\
 &+ \left(\frac{3hRk^4\pi B_{11}L}{4} + \frac{hR\pi m^2 k^2 L(B_{12} + 2B_{66})}{8} + \frac{3hm^4\pi LB_{22}}{4R^3}\right) w_1^3.
 \end{aligned}$$

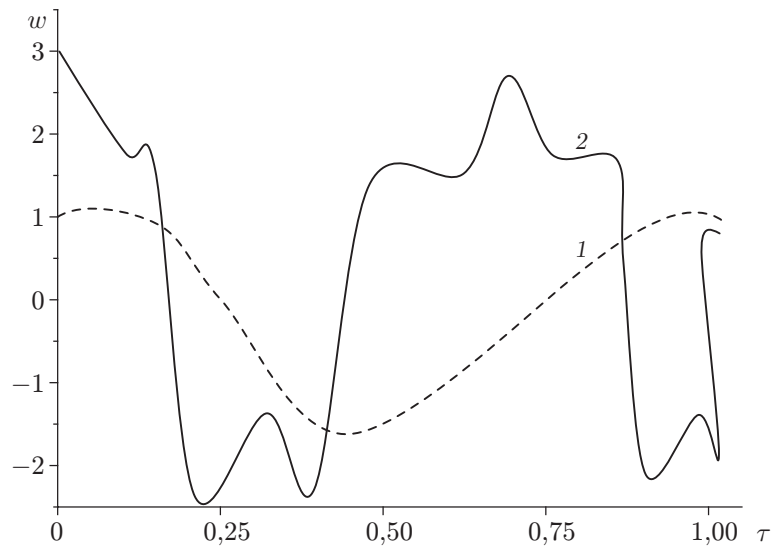


Рис. 2. Зависимость прогиба в срединном сечении оболочки от времени при $E_1/E_2 = 1,25$ и различных начальных перемещениях:
1 — $A = 1$, 2 — $A = 3$

Начальное перемещение задано в виде синусоиды, т. е. при $t = 0$

$$u_0 = A, \quad \frac{du_0}{dt} = 0, \quad u_1 = 0, \quad \frac{du_1}{dt} = 0, \quad v_0 = B, \quad \frac{dv_0}{dt} = 0,$$

$$v_1 = 0, \quad \frac{dv_1}{dt} = 0, \quad w_0 = C, \quad \frac{dw_0}{dt} = 0, \quad w_1 = 0, \quad \frac{dw_1}{dt} = 0.$$

Интегрируя систему (6) методом Рунге — Кутты, находим значения u_1, v_1, w_1 . Шаг по времени $\Delta t = 0,05$ выбирается таким образом, чтобы обеспечивалась устойчивость решения системы уравнений (6). Далее вычисления повторяются: путем интегрирования системы определяются величины $u_1(2\Delta t), v_1(2\Delta t), w_1(2\Delta t)$ и т. д. Значения $u(t), v(t), w(t)$ в произвольной точке оболочки для заданного момента времени вычисляются по формулам (5) с точностью до 0,001.

На рис. 2 приведена зависимость прогиба в центральном сечении оболочки от безразмерного времени $\tau = t/T_0$ (T_0 — период основного тона малых колебаний подкрепленной цилиндрической оболочки с наполнителем) при различных начальных перемещениях. При $A = 1$ колебания оболочки являются гармоническими, а форма изогнутой поверхности не меняется. Полученное решение практически совпадает с решением в первом приближении. Если начальное перемещение превышает толщину оболочки, то колебания не являются гармоническими. При этом форма колебаний в некоторые моменты времени существенно отличается от полуволны синусоиды, полученной при амплитуде $A = 3$. Следует отметить, что период колебаний больше периода колебаний, полученного из решения в первом приближении.

ЛИТЕРАТУРА

1. **Кубенко В. Д.** Нелинейные колебания цилиндрических оболочек: Учеб. пособие / В. Д. Кубенко, П. С. Ковальчук, Н. П. Подчасов. Киев: Выща шк., 1989.
2. **Кантор Б. Я.** Нелинейные задачи теории неоднородных пологих оболочек. Киев: Наук. думка, 1971.

3. **Енджиевский Л. В.** Нелинейные деформации ребристых оболочек. Красноярск: Изд-во Краснояр. ун-та, 1982.
4. **Постнов В. А., Корнеев В. С.** Использование метода конечных элементов в расчете устойчивости подкрепленных оболочек // Прикл. механика. 1976. Т. 25, № 1. С. 27–35.
5. **Заруцкий В. А.** Оптимизация подкрепленных цилиндрических оболочек / В. А. Заруцкий, Ю. М. Почтман, В. В. Скалозуб. Киев: Выща шк., 1990.
6. **Мехтиев М. А.** Нелинейные параметрические колебания подкрепленной продольными ребрами цилиндрической оболочки, контактирующей со средой // Механика. 2011. № 1. С. 23–27.
7. **Мехтиев М. А.** Нелинейные параметрические колебания подкрепленной цилиндрической оболочки с вязкоупругим наполнителем // Механика машин, механизмов и материалов. 2011. № 3. С. 28–30.
8. **Мехтиев М. А.** Нелинейные параметрические колебания подкрепленной кольцевыми ребрами цилиндрической оболочки, контактирующей с вязкоупругой средой // Вестн. Бакин. ун-та. Сер. физ.-мат. наук. 2011. № 3. С. 80–86.
9. **Мехтиев М. А.** Нелинейные параметрические колебания подкрепленной продольными ребрами цилиндрической оболочки, контактирующей со средой, с применением динамической модели Пастернака // Теорет. и прикл. механика. 2011. № 3/4. С. 131–137.
10. **Mehdiyev M. A.** Nonlinear parametric vibrations of medium-contacting cylindrical shell stiffened with longitudinal ribs with regard to lateral shift // J. Phys. Sci. Appl. 2012. V. 2, N 2. P. 56–60.
11. **Mehdiyev M. A.** Nonlinear parametric vibrations of a ridge cylindrical shell dynamically contacting with medium // Trans. NAS Acad. Azerb. 2012. V. 32, N 4. P. 101–108.
12. **Mehdiyev M. A.** Investigating non-linear parametric vibrations of viscoelastic medium-filled cylindrical shell stiffened with cross system of ribs with regard to lateral shift // Intern. J. Environment. Sci. Technol. 2012. V. 4, N 12. P. 4957–4962.
13. **Вольмир А. С.** Нелинейная динамика пластинок и оболочек. М.: Наука, 1972.
14. **Амиро И. Я.** Теория ребристых оболочек. Методы расчета оболочек / И. Я. Амиро, В. А. Заруцкий. Киев: Наук. думка, 1980.

*Поступила в редакцию 10/III 2017 г.,
в окончательном варианте — 18/IX 2017 г.*
